

Snow Melt River Flow Modeling Using SRM  
Model  
(Case Study: Karaj Dam Basin)

M. Miryaghoobzadeh<sup>1\*</sup>, M. R. Ghanbarpour<sup>2</sup>  
and M. Habibnejad Roshan<sup>3</sup>

**Abstract**

Snowfall is one important form of precipitation in hydrology cycle in mountainous basin which plays reliable role on agricultural and domestic water supply in low and high flow seasons as well as on energy production. The main objective of hydrological modeling in watersheds is the better understanding of the hydrology cycle including governing processes in water cycle. Snow covered area is a basic parameter in global hydrology cycle and climatology. In this research snow melt runoff was simulated in Karadj dam watershed, using SRM model in water year 2001-2002 and validated for water year 2002-2003. SRM, a degree-day model which simulates snow melt runoff, needs 14 parameters and variables. These include rain, temperature, discharge, daily surface of snow, recession curve, snow and rain runoff coefficients, and degree-day factor. Model also needs physical parameters such as elevation boundary. Temperature and rain were distributed using gradient equation in elevation boundaries. Also physical parameters of the watershed were added to the model using geographic information system. The  $R^2$  and the deviation of the runoff volume in 2001-2002 were calculated as 0.4678, 0.1292%, respectively. These values for 2002-2003 are 0.935, 6.7736%, respectively. SRM model can effectively be used to modeling of snow melt runoff.

مدل‌سازی جریان ناشی از ذوب برف با استفاده از مدل  
هیدرولوژیکی رواناب حاصل از ذوب برف  
(مطالعه موردی: حوضه آبخیز سد کرج)

میرحسن میریعقوبزاده<sup>۱\*</sup>، محمدرضا قنبرپور<sup>۲</sup>  
و محمود حبیب نژاد روشن<sup>۳</sup>

**چکیده**

برف یکی از اشکال مهم بارش در چرخه هیدرولوژی مناطق کوهستانی بوده که در تامین منابع آب شرب و کشاورزی به صورت جریانهای تاکنی در فصول پرآبی و جریانهای حداقل در فصول کم آبی و تولید انرژی نقش ارزشمند ایفا می‌کند. هدف اساسی مدل‌سازی هیدرولوژیکی در حوضه‌های آبخیز، درک بهتر از روند چرخه آب نظیر فرآیندهای حاکم بر چرخه آب و منابع آب می‌باشد. منطقه پوشیده از برف پارامتری اساسی در سیکل هیدرولوژی و اقلیم شناسی زیست کرده است. در این تحقیق رواناب حاصل از ذوب برف در حوضه آبخیز سد کرج با استفاده از مدل هیدرولوژیکی SRM<sup>۱</sup> در دو سال آبی ۸۰-۸۱ و ۸۱-۸۲ مدل‌سازی شده است. مدل شبیه‌سازی جریان رواناب حاصل از ذوب برف بر پایه درجه - روز است که از ۱۴ پارامتر و متغیر ورودی نظیر بارش، دما، دبی و سطح پوشش برف به صورت روزانه و ضریب فروکش، ضریب رواناب برف و باران، فاکتور درجه روز و همچنین خصوصیات فیزیکی مانند طبقات ارتفاعی استفاده می‌نماید. متغیرهای دما و بارش روزانه با توجه به معادله گردایان به طبقات ارتفاعی توزیع گردید. خصوصیات فیزیکی حوضه نیز با استفاده از سیستم اطلاعات جغرافیایی به مدل اضافه گردید. نتایج حاصل از این تحقیق نشان می‌دهند مدل رواناب حاصل از ذوب برف (SRM) در حوضه آبخیز سد کرج با ضریب تبیین ۰/۴۷ و ۰/۹۴ به خوبی قادر به مدل کردن فرآیند رواناب حاصل از ذوب برف می‌باشد.

**کلمات کلیدی:** برف، مدل‌سازی، بارش، SRM، آبخیز، حوضه کرج.

تاریخ دریافت مقاله: ۸ بهمن ۱۳۸۶

تاریخ پذیرش مقاله: ۳۱ خرداد ۱۳۹۰

**Keywords:** Snow, Modeling, Precipitation, SRM, Watershed, Karadj basin.

Received: January 28, 2008

Accepted: June 21, 2011

1- Ph.D. candidate, Watershed Management and Engineering, University of Mazandaran, Sari, Iran, Email: m.miryaghoobzadeh@gmail.com

2- Assistant Prof., Faculty of Natural Resources, Agricultural and Natural Resources University of Sari, Iran

3- Associate Prof., Faculty of Natural Resources, Agricultural and Natural Resources University of Sari, Iran

\*- Corresponding Author

۱- دانشجوی دکتری علوم و مهندسی آبخیزداری- دانشگاه مازندران، ساری، ایران.

۲- استادیار دانشکده منابع طبیعی- دانشگاه علوم کشاورزی و منابع طبیعی ساری، ایران.

۳- دانشیار دانشکده منابع طبیعی- دانشگاه علوم کشاورزی و منابع طبیعی ساری، ایران.

\*- نویسنده مسئول

## ۱- مقدمه

Swamy and Brivio, (1996) با استفاده از تصاویر ماهواره‌ای ندست، سطح تحت پوشش برف حوضه کوردول در شمال ایتالیا را بدست آورده و با استفاده از مدل SRM رواناب ناشی از ذوب برف را با تفاضل حجمی  $4/6\%$  و  $89/0\%$  شیوه سازی نمودند. Mukkoth (2004) رواناب حاصل از ذوب برف را با مدل SRM و با استفاده از داده‌های سنجنده MODIS در حوضه آبخیز Elhao واقع در ایالت British colombia کانادا مدل‌سازی نموده است. در این تحقیق زون‌های ارتفاعی و مناطق پوشش برفی با بکارگیری داده‌های چند طیفی سنجنده TERRA MODIS تعیین شده است. مدل با داده‌های اندازه‌گیری شده دبی روزانه در خروجی حوضه اعتبار سنجی شده و نتایج حاصل از آن با ضریب تبیین  $43/0\%$  بر اساس میانگین دبی روزانه محاسبه شده است. Emre et al. (2005) با استفاده از داده‌های MODIS و با به کارگیری شاخص پوشش برفی NDSI، نقشه سطح تحت پوشش برف را با ضریب تبیین کلی  $62/2\%$  تا  $82/8\%$  در حوضه آبخیز Karasu از سرشاخه‌های رودخانه Euphrates واقع در شرق ترکیه جهت استفاده در مدل رواناب حاصل از ذوب برف تخمین زده اند.

Gupta et al (2007) با تحلیل نواحی ذوب برف در حوضه‌های رشته کوه‌های هیمالیا به این نتیجه رسیده‌اند که ذوب برف به شدت به توزیع دما در محدوده  $0-5^{\circ}\text{C}$  درجه سانتی‌گراد وابسته است. پر همت (۱۳۸۱) مدل SRM را در حوضه خرسان بکار برد و نتیجه گرفته است که این مدل در پیش‌بینی رواناب روزانه در حوضه‌های برف‌گیر با استفاده از سطح تحت پوشش برف که از اطلاعات ماهواره‌ای قابل دسترسی می‌باشد دارای قابلیت پیش‌بینی رواناب حاصل از ذوب برف می‌باشد. به علاوه اینکه مدل دارای قابلیت تبدیل بارش به رواناب روزانه نیز است. همچنین نتیجه گرفته است که مدل حجم سالانه جریان رواناب را با دقت بالایی برآورد می‌کند. نجف زاده و همکاران (۱۳۸۳) در تحقیقی تحت عنوان شبیه‌سازی جریان رودخانه با مدل ذوب برف، مدل SRM را در حوضه آبخیز پلاسجان با استفاده از داده‌های ماهواره‌ای نوآ به کار برد و رواناب حاصل از ذوب برف را با ضریب همبستگی  $95/0\%$  و تفاضل حجمی  $25/0\%$  شبیه سازی کرده است. نجفی (۲۰۰۳) در تحقیقی مدل SRM را در حوضه آبخیز میرآباد دریاچه ارومیه به کار برد و رواناب حاصل از ذوب برف را با ضریب همبستگی  $81/0\%$  و تفاضل حجمی  $75/3\%$  شبیه سازی نموده است. در تحقیق حاضر سعی شده است کارایی مدل شبیه ساز رواناب حاصل از ذوب برف در حوضه آبخیز سد کرج که یکی از حوضه‌های

برف یکی از اشکال مهم بارش در چرخه هیدرولوژی مناطق کوهستانی بوده که در تامین منابع آب شرب و کشاورزی به صورت جریان‌های تا خیری در فصول پرآبی و جریان‌های تا خیری در فصول پرآبی و جریان‌های حاصل در فصول کم آبی و تولید انرژی نقش ارزشمندی کند. از سوی دیگر رواناب حاصل از ذوب برف به دلیل نقش تا خیری آن منبع اصلی تزیین سفره‌های آب زیرزمینی و در برخی از موارد به دلیل همزمانی با بارش‌های بهاره منشاء بروز سیلانه‌های مخرب با حجم جریان بیش از ظرفیت رودخانه‌ها می‌گردد (Ghanbarpour et al, 2007). منطقه پوشیده از برف پارامتری اساسی در سیکل هیدرولوژی و اقلیم شناسی زیست کرده است. با وجود ظرفیت گرمایی بالای برف، پوشش برف سطح خاک را از برخورد مستقیم با هوا و افت فرآیند گرم شدگی زمین در بهار حفظ می‌کند؛ بنابراین برف اثری مستقیم بر جریان اتمسفری با تأثیر بر جذب انرژی و گرم شدن دمای حوضه دارد. حضور برف در یک حوضه بر رطوبت ذخیره شده در سطح مؤثر بوده و تأثیر تا خیری در رواناب دارد (Maurer et al, 2003). وقوع بارندگی به شکل برف یا باران، تعیین کننده نحوه پاسخ هیدرولوژیکی حوضه آبخیز نسبت به ورودی اصلی حوضه می‌باشد؛ زیرا برف در سیکل هیدرولوژی به عنوان یک متغیر تا خیری مدت‌ها در حوضه باقی می‌ماند (Rango,2003). هدف اساسی مدل‌سازی هیدرولوژیکی در حوضه‌های آبخیز، درک بهتر از روند چرخه آب نظیر فرآیندهای حاکم بر چرخه آب و منابع آب می‌باشد (Fergousen,1999). Martinec and Rango (1975) به منظور شبیه‌سازی و پیش‌بینی رواناب روزانه حاصل از ذوب برف حوضه‌های کوچک کوهستانی اروپا ارائه نمودند (Martinec and Rango, 2003). Landesa et al. (2000) با استفاده از داده‌های سنجنده MSS رواناب حاصل از ذوب برف در حوضه اسپانیا به کار گرفته و نتیجه گیری نمودند مدل برای پیش‌بینی حجمی با  $6/9\%$  درصد خطأ در حوضه‌های مختلف روبروست. Schaper et al. (1999) با استفاده از تصاویر ماهواره‌ای TM و MSS رواناب حاصل از ذوب برف در حوضه Massa-Blaten با مساحت ۱۹۶ کیلومتر مربع را محاسبه نمودند. نتایج حاصل از شبیه‌سازی جریان رواناب حاصل از ذوب برف در منطقه با ضریب تبیین  $6/4\%$  و تفاضل حجم  $31/6\%-31/6\%$  نشان از دقت بالای محاسبات در شبیه سازی جریان با مدل SRM دارند. ایشان جهت مطالعه جریان رواناب حاصل از ذوب برف در حوضه‌های آلپ مقدار متغیر دما را از طریق داده‌های ثبت شده در ۳ ایستگاه بدست آورده و به میانگین ارتفاع هیپسومتریک هر زون برون یابی نموده‌اند.

در این تحقیق از تصاویر MODIS<sup>2</sup> در برآورد سطح تحت پوشش برف جهت شبیه سازی رواناب حاصل از ذوب برف در حوضه آبخیز کرج استفاده شده است. سری زمانی تصاویر به کار رفته در این تحقیق در جدول ۱ آورده شده است. سنجنده MODIS یکی از دقیقترین پروژه های سیستم مشاهدات زمینی سازمان فضایی آمریکا (ناسا) به شمار می آید. سنجنده MODIS دارای ۳۶ باند در محدوده طیفی ۰/۴۱ تا ۱۴/۵ میکرومتر بوده و قدرت تفکیک آن در زاویه عمود به سطح زمین ۲۵۰ متر در ۲ باند طیفی، ۵۰۰ متر در ۵ باند و ۱۰۰۰ متر در ۲۹ باند طیفی می باشد.

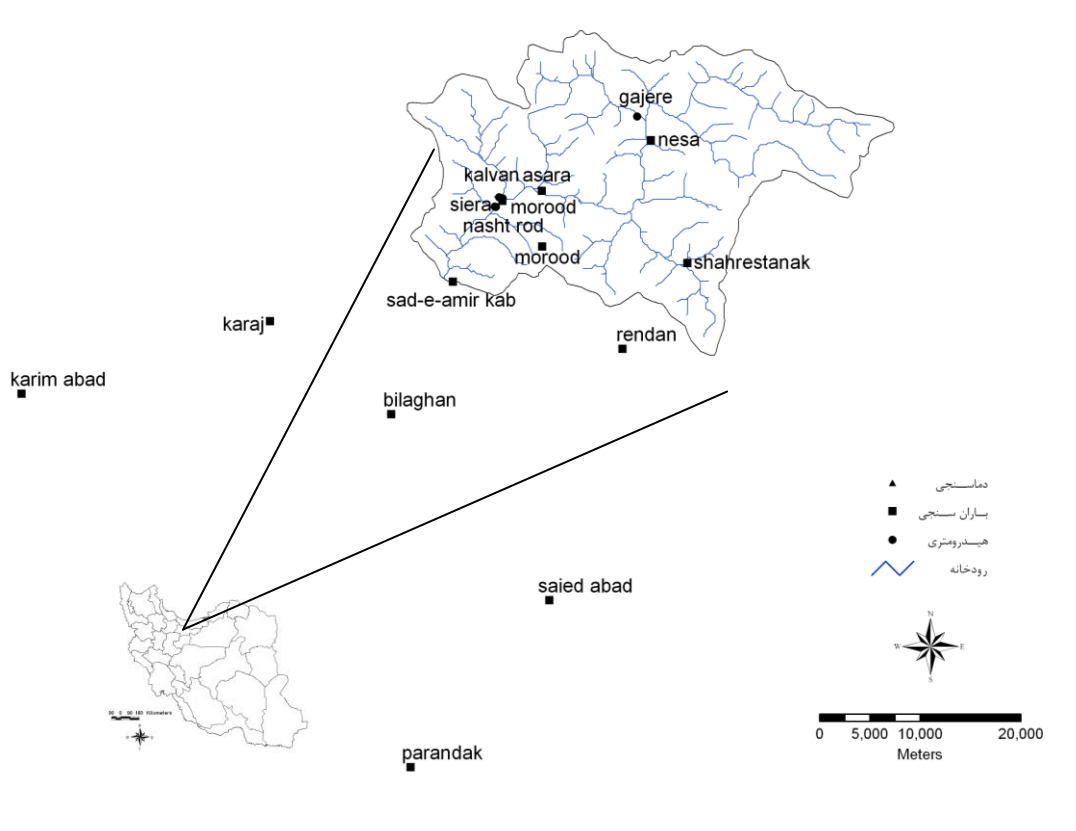
**۲-۲- ایستگاه های هیدرومتری، باران سنجی و دما سنجی**  
در این تحقیق از آمار روزانه ایستگاه های بیلقان، کاجره، سیراء، نشت رو، پل خواب، کلوان به عنوان ایستگاه های هیدرومتری و از آمار روزانه آسارا، بیلقان، رندان، سد امیر کبیر، سعید آباد، سیراء، شهرستانک، مورود، نسae، کریم آباد، پرندک، کرج به عنوان ایستگاه های باران سنجی و از آمار ایستگاه های سد امیر کبیر، شهرستانک، نسae و کرج به عنوان ایستگاه های برداشت روزانه دما استفاده شده است.

برفگیر کشور بوده و سهم عمده ای از رواناب حوضه را بخود اختصاص می دهد، مورد بررسی قرار گرفته و همچنین کارایی تصاویر ماهواره ای MODIS که در این تحقیق بهره گرفته شده است، به طور ضمنی آشکار گردد.

## ۲- مواد و روش ها

### ۱-۱- حوضه مورد مطالعه

حوضه آبخیز سد کرج (سد امیرکبیر) با مساحت ۸۴۱/۶۶۰ کیلومتر مربع در پهنه جنوبی رشته کوه البرز مرکزی بین "۲۴° ۳۵' ۵۳" تا "۱۰° ۳۸' ۳۶" عرض شمالی و "۳۶° ۳۵' ۲۴" تا "۵۱° ۳۵' طول شرقی واقع شده است. رقوم ارتفاعی حوضه آبخیز سد کرج از ارتفاع ۴۵۰۰ متری قله کهار تا دیواره سد که حدود ۱۷۰۰ متر از سطح دریا واقع است، متغیر می باشد و در آن رودخانه های مهمی چون کرج، شهرستانک، آب و زن، مورود، سیدک، وارنگه رود، ولیت رود جریان دارند. بطور کلی ۹۶/۵٪ از سطح حوضه در ارتفاع بیش از ۲۰۰۰ متر واقع شده است. شکل ۱ موقعیت منطقه مورد مطالعه را نشان می دهد.



شکل ۱- موقعیت حوضه آبخیز سد کرج و ایستگاه های مورد استفاده

**جدول ۱- سری زمانی تصاویر MODIS مورد استفاده در مدل‌سازی ذوب برف**

ردیف	سال	ماه	روز
۱	۲۰۰۱	دسامبر	۲۵
۲	۲۰۰۲	ژانویه	۶
۳	۲۰۰۲	فوریه	۲
۴	۲۰۰۲	مارس	۲
۵	۲۰۰۲	آوریل	۳۰
۶	۲۰۰۲	دسامبر	۵
۷	۲۰۰۳	ژانویه	۳۰
۸	۲۰۰۳	فوریه	۱۰
۹	۲۰۰۳	مارس	۱۹
۱۰	۲۰۰۳	آوریل	۲۴

: توالی روزها در طی دوره محاسبه می‌باشد. شرح هر کدام از متغیرها و پارامترهای مذکور در ذیل ارائه شده است. فلوچارت الگوریتم مدل نیز در شکل ۲ ارائه شده است.

#### ۴-۲- سطح پوشش برف

پوشش برفی فصلی در طول فصل زمستان شکل گرفته و به تدریج در طول فصل بهار و تابستان ذوب می‌شود. پوشش برفی موقتی از بارش‌های ناگهانی و طوفانی برف حاصل می‌شود که ممکن است چند ساعت و یا حتی کمتر از چند روز باقی بماند (Amelin, 2003). جهت استخراج سطح پوشش برف در این تحقیق از شاخص پوشش برفی<sup>۳</sup> به منزله الگوریتم استخراج کننده سطح پوشش برف از تصاویر ماهواره‌ای MODIS استفاده شده است. شاخص NDSI از مزیت‌های برف در بازتاب طیفی بالای باند مرئی و بازتاب پایین آن در محدوده طیفی مادون قرمز جهت بارزسازی برف از ابر و نواحی بدون پوشش برفی استفاده می‌کند (Nolin and Liang, 2000). Hall et al. (1995) NDSI شاخص را طبق رابطه (۲) که اختلاف بازتاب طیفی در باند مرئی نسبت به باند مادون قرمز آن به مجموع دو باند مذکور است بیان کرده‌اند:

$$NDSI = \frac{Band(0/555\mu m) - Band(1/64\mu m)}{Band(0/555\mu m) + Band(1/64\mu m)} \quad (2)$$

#### ۵- بارش

تعیین بارش برای یک سطح وسیع و کوهستانی بسیار مشکل و پیچیده می‌باشد. در مناطق حاره که لایه پایینی جو سرشار از رطوبت است ولی لایه‌های میانی از نظر رطوبتی بسیار فقیر هستند

**۳-۲- ساختار مدل رواناب حاصل از ذوب برف SRM**  
مدل SRM برای محاسبه جریان ناشی از ذوب برف و بارش باران به ۱۴ پارامتر و متغیر ورودی در هر زون ارتفاعی مطابق رابطه (۱) نیازمند است.

ساختار اصلی مدل در حالت نیمه توزیعی به صورت رابطه ریاضی ذیل بیان می‌شود (Martinec and Rango, 1996):

$$Q_{n+1} = [C_S * \alpha_n (T_n + \Delta T_n) S_n + C_{Rn} * P_n] - \frac{A * 10000}{86400} (1 - k_{n+1}) + Q_n K_{n+1} \quad (1)$$

که در آن:

$Q$ : متوسط دبی روزانه بر حسب sec

$C_S$ : ضریب رواناب برف

$C_R$ : ضریب رواناب باران

$\alpha$ : شاخص درجه- روز که عمق ذوب ناشی از یک درجه روز را نشان می‌دهد بر حسب  $cm.c^{-1}.d^{-1}$

$T$ : تعداد درجه روز بر حسب  $C.d$

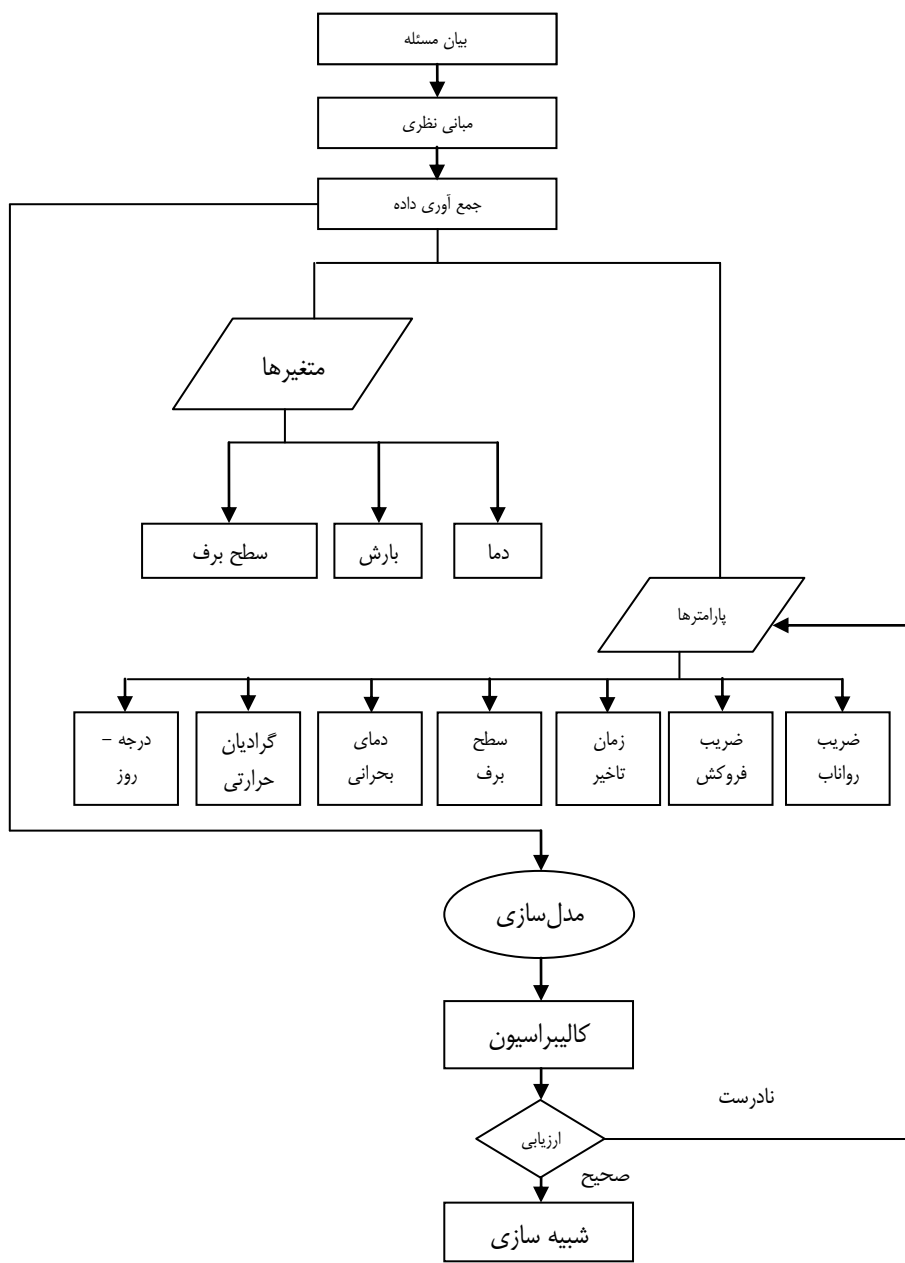
$\Delta T$ : تغییل دما با استفاده از گرادیان دما به متوسط ارتفاع حوضه بر حسب  $C.d$

$S$ : نسبت پوشش برف به کل حوضه

$P$ : بارشی که در رواناب شرکت می‌کند بر حسب  $cm$

$A$ : مساحت ناحیه انتخابی بر حسب  $km^2$

$K$ : ضریب فروکش جریان



شکل ۲- فلوچارت مدل SRM (اقتباس از Najafi et al, 2003)

## ۶-۲- دما

دما یکی از متغیرهای اساسی در تخمین و برآورد جریان ناشی از ذوب به شمار می‌رود و اهمیت ویژه‌ای در حوضه‌های با مساحت زیاد دارد (Martinec and Rango, 1996). در مدل‌هایی همچون SRM دما در اغلب اوقات در یک یا چند ایستگاه اندازه‌گیری شده و عموماً به کل حوضه با روش برونویابی مطابق گرادیان حرارتی تعمیم داده می‌شود. متغیر دمای روزانه ایستگاه‌ها نیز با استفاده از رابطه دما و ارتفاع استخراج شده به زون‌های ارتفاعی منتقل گردید.

حرکات همرفتی به لایه‌های پایین جو محدود می‌شوند و در نواحی حاره بارش تا ارتفاع ۱۰۰۰ تا ۱۹۰۰ متری افزایش و از آن پس رو به کاهش می‌گذارد. اما در نواحی برونوی حاره مقدار بارش تا ارتفاع ۵۰۰۰ تا ۵۵۰۰ متری افزایش می‌یابد (Barry and Charley, 1982). بنابراین با توجه به اینکه محدوده ارتفاعی حوضه آبخیز سد کرج از ۴۳۰۰-۱۷۰۰ متر می‌باشد و استفاده از رابطه گرادیان، اختلالی در انتقال بارش نمی‌کند میزان بارش روزانه ایستگاه‌های باران سنجی توسط رابطه بارش و ارتفاع به نواحی ارتفاعی در مدل انتقال داده شد.

## ۷-۲- دمای بحرانی

ضریب فروکش برای شرایط عادی ذوب را در حوضه‌های آبخیز ارائه کرده‌اند:

$$K_{n+1} = X \cdot Q_n^{-y} \quad (3)$$

که در آن:  $K_{n+1}$ : ضریب فروکش،  $X$  و  $y$ : ضرایب معادله،  $Q_n$ : دبی روز میان

### ۱۲- فاکتور درجه - روز

فاکتور درجه- روز و یا به عبارت دیگر شاخص ذوب به صورت مقدار عمق ذوب شده به تعداد درجه- روز بوده و به صورت رابطه (۴) تعریف می‌گردد (Rango and Martinec, 2003):

$$M = aT \quad (4)$$

که در آن:  $M$ : ذوب روزانه به  $\text{cm} \cdot \text{C}^{\circ}$ ،  $a$ : شاخص درجه- روز  $\text{^1.d}^{-1}$ ،  $T$ : تعداد درجه- روز  $\text{^1.C.d}^{-1}$  که مقدار  $a$  از رابطه (۵) محاسبه می‌شود (Rango and Martinec, 2003):

$$a = 1.1 \frac{\rho_s}{\rho_w} \quad (5)$$

چگالی برف،  $\rho_w$ ، چگالی آب

### ۱۳- ارزیابی دقت مدل

مدل SRM از یک معیار کیفی مشاهده تطابق هیدرولوژیک را و از دو معیار دقت کمی شامل ضریب تبیین ( $R$ )، تفاصل حجم ( $DV$ )، استفاده می‌کند. این ضرایب از طریق معادلات (۶) و (۷) محاسبه می‌گردند:

(الف) ضریب تبیین یا رابطه ناش- ساتکلیف:

$$R^2 = 1 - \frac{\sum_{i=1}^n (Q_i - Q'_i)^2}{\sum (Q_i - \bar{Q})^2} \quad (6)$$

$Q_i$ : دبی اندازه‌گیری شده روزانه،  $Q'_i$ : دبی محاسبه شده روزانه،  $\bar{Q}$ : متوسط دبی اندازه‌گیری شده در سال مورد نظر یا فصل ذوب،  $n$ : تعداد روزهای دارای اندازه‌گیری

ب) انحراف حجم

$$DV(\%) = \frac{V_R - V'_R}{V_R} * 100 \quad (7)$$

$V_R$ : حجم سالانه یا فصلی رواناب اندازه‌گیری شده؛  $V'_R$ : حجم سالانه یا فصلی رواناب محاسبه شده

## ۷-۳- دمای بحرانی

در مدل هیدرولوژیکی SRM این پارامتر به عنوان معیار تشخیص نوع بارش در هر واقعه بارندگی بر حسب دمای روزانه مورد استفاده قرار می‌گیرد. اگر دمای محیط بیشتر از دمای بحرانی بارش به صورت باران و اگر دمای محیط کوچکتر از دمای بحرانی باشد، بارش به صورت برف منظور می‌گردد. در این تحقیق نیز براساس توصیه‌های پدید آورندگان مدل و با توجه به اینکه در حوضه مورد نظر اطلاعات دراز مدت سینوپتیک جهت تعیین دقیق دمای بحرانی موجود نبود، دمای  $2/5$  درجه سانتیگراد به عنوان دمای بحرانی برای حوضه آبخیز سد کرج انتخاب گردید.

## ۸- سطح مشارکت کننده در بارش

موقعی که بارش به صورت باران باشد، دو نوع رفتار در مدل قابل بررسی خواهد بود: در نوع اول باران بر روی برف پشته باریده و در آن نگهداری می‌شود اگر برف خشک و عمیق باشد در این حالت عمق بارش نسبت به سطح بدون پوشش برف به کل سطح کاهش می‌یابد. در نوع دوم سطح پوشش برفی رسیده و پراپ است و تمامی آب باران بدون دست خوردگی به رواناب حاصل از ذوب برف اضافه خواهد گردید.

## ۹- زمان تأخیر

از لحاظ فیزیکی زمان تأخیر عبارت است از نصف زمان حرکت آب از تمام سطح حوضه به سمت نقطه خروجی برای یک رگبار معین است؛ که در این تحقیق بر اساس رابطه پیشنهادی اشنایدر ۶ ساعت محاسبه و در مدل منظور گردیده است.

## ۱۰- ضریب رواناب

ضریب رواناب اختلاف بین آب در دسترس و جریان خروجی از حوضه می‌باشد. مدل SRM مقادیر ضریب رواناب را برای برف و همچنین برای بارش باران بصورت مجزا می‌پذیرد.

## ۱۱- ضریب فروکش

ضریب فروکش پارامتر بسیار مهمی در مدل SRM می‌باشد که به وسیله توابع نمایی حل می‌گردد. ضریب فروکش نشان دهنده رفتار حوضه در شرایط عادی ذوب برف است. Rango and Martinec (2003) رابطه (۳) را جهت محاسبه

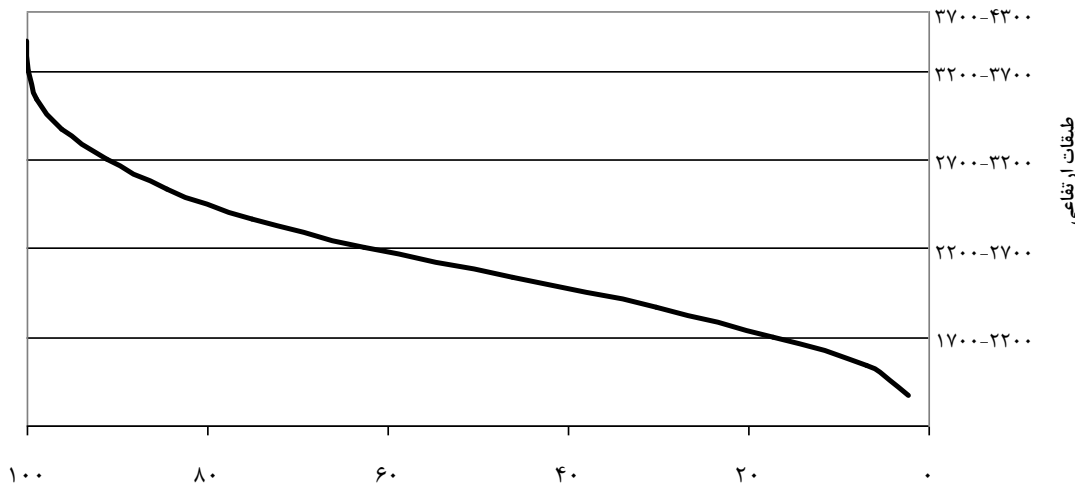
### ۳- نتایج

#### ۱- خصوصیات فیزیوگرافی

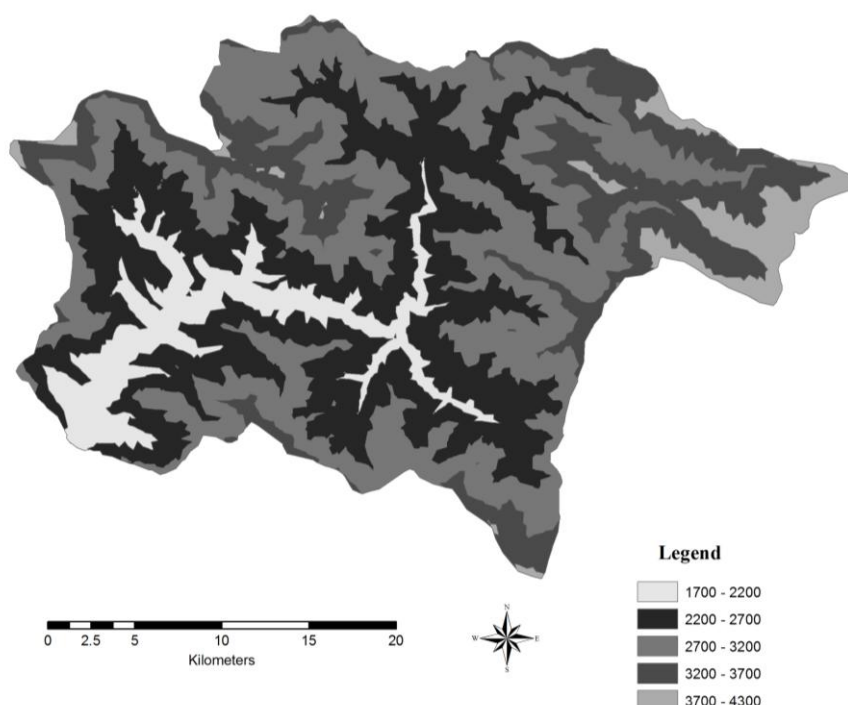
#### ۲- طبقات ارتفاعی

حدود ارتفاعی حوضه از ۱۷۰۰ متر الی ۴۳۰۰ متر بوده که به ۵ طبقه ارتفاعی با حدود ۵۰۰ متر در سیستم اطلاعات جغرافیایی تقسیم شده است. شکل ۴ زون‌های ارتفاعی در حوضه آبخیز سد کرج را نشان می‌دهد.

جهت استخراج منحنی هیپسومتری حوضه آبخیز سد کرج، مساحت آبخیز به ۵ طبقه ارتفاعی تقسیم گردید و در محیط نرم افزاری GIS مقدار مساحت هر طبقه ارتفاعی بدست آمد. منحنی هیپسومتری حوضه آبخیز سد کرج در شکل ۳ ارائه شده است.



شکل ۳- منحنی هیپسومتری حوضه آبخیز سد کرج



شکل ۴- زون‌های ارتفاعی در حوضه آبخیز سد کرج

### ۳-۴- منحنی فروکش

ایستگاههای سیرا، گاجره، نشت رود و مورود از جمله ایستگاههای هیدرومتری روزانه حوضه آبخیز سد امیرکبیر می‌باشند. منحنی فروکش نشانگر نحوه پاسخ هیدرولوژیکی حوضه به بارش بویژه شرایط حوضه پس از قطع بارش و برگشت به حالت عادی هیدرولوژیکی می‌باشد. با توجه به اینکه ایستگاههای سیرا، مورود و نشت رود در زون‌های ارتفاعی پایین حوضه قرار داشتند، در ابتدا اقدام به محاسبه منحنی‌های فروکش سه ایستگاه یاد شده گردید. اما با توجه به طولانی بودن و معرف بودن ایستگاه سیرا که هم در پایین دست حوضه قرار داشته و معرف بهتر خصوصیات و نحوه پاسخ هیدرولوژیکی حوضه می‌باشد و نیز با بررسی منحنی‌های فروکش به دست آمده از سایر ایستگاههای هیدرومتری، جهت محاسبه ضریب فروکش حوضه از آمار دبی روزانه ایستگاه سیرا استفاده گردید. برای محاسبه ضریب فروکش از رابطه ارائه شده توسط رانگو و مارتینک استفاده شد. منحنی شاخه خشکیدگی هیدرولوگراف ایستگاه سیرا نیز با توجه به هیدرولوگراف روزانه در سالیان متعدد به روش گراف و انتقال دبی هیدرولوگراف روی محور لگاریتمی به دست آمد (شکل ۵).

در این شکل  $Q_n$ : دبی روز معین و  $Q_{n+1}$ : انتقال دبی روز معین به یک روز پس از آن می‌باشد.

### ۳-۳- استخراج نقشه‌های حاصل از اجرای الگوریتم‌های ذوب برف

بعد از زمین مرجع نمودن تصاویر ماهواره‌ای MODIS اقدام به اجرای الگوریتم تفکیک کننده برف از ابر و زمین (شاخص پوشش برفی) گردید. در این تحقیق از الگوریتم پیشنهادی Hall and Riggs به عنوان الگوریتم استاندارد و شاخص تشخیص پوشش برفی در تصاویر ماهواره‌ای MODIS بهره‌برداری گردید. سطح تحت پوشش برف در حوضه آبخیز سد امیرکبیر توسط MODIS درون‌بایی و برون‌بایی از سری زمانی تصاویر ماهواره‌ای به اساس الگوریتم ارائه شده توسط مالچر محاسبه گردید. بر اساس الگوریتم Malcher عامل ذوب تابعی از درجه حرارت بحرانی و فاکتور درجه-روز است و طبق رابطه (۸) بیان می‌شود:

$$\Delta M(t_1, t_2) = \sum_{t_1}^{t_2} (aT) \quad (8)$$

که در آن:

$\Delta M$ : عمق تجمیعی ذوب برف به سانتی‌متر، a: فاکتور درجه-روز، T: دمای بحرانی به درجه سانتی‌گراد

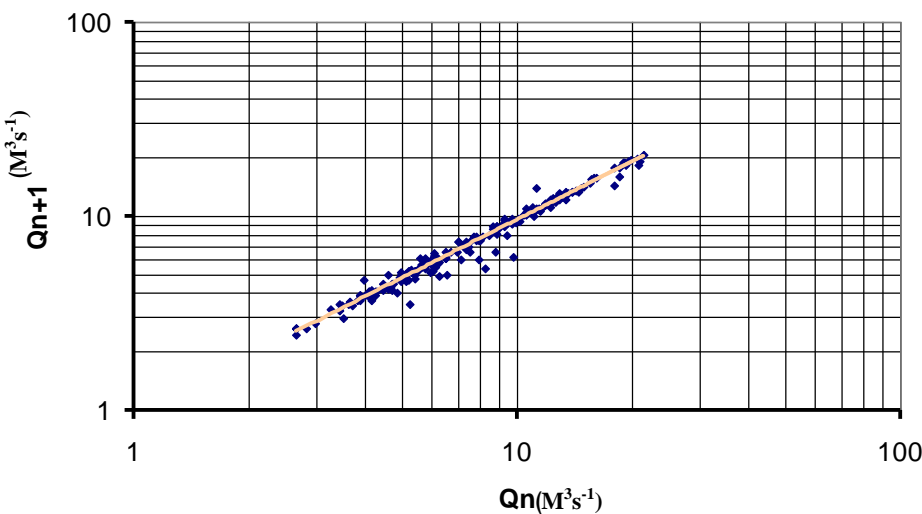
مقادیر سطح تحت پوشش برف در حوضه آبخیز سد کرج به تفکیک هر زون ارتفاعی در سال آبی ۸۰-۸۱ و همچنین ۸۱-۸۲ با استفاده از طبقه بندی شاخص پوشش برفی طبق جدول ۲ و ۳ آورده شده است.

جدول ۲- سطح برف در سال آبی ۸۰-۸۱ در تصاویر MODIS به کیلومتر مربع

تاریخ	زون ارتفاعی ۱	زون ارتفاعی ۲	زون ارتفاعی ۳	زون ارتفاعی ۴	زون ارتفاعی ۵
۸۰/۱۰/۴	20/434	221/605	281/175	136/337	32/995
۸۰/۱۰/۱۶	33/185	155/915	234/772	133/303	32/731
۸۰/۱۱/۱۳	73/822	229/876	255/631	133/305	31/652
۸۰/۱۲/۱۱	33/438	227/127	277/212	136/104	32/939
۸۱/۲/۱۰	0/816	3/244	45/996	111/484	32/683

جدول ۳- سطح برف در سال آبی ۸۱-۸۲ در تصاویر MODIS به کیلومتر مربع

تاریخ	زون ارتفاعی ۱	زون ارتفاعی ۲	زون ارتفاعی ۳	زون ارتفاعی ۴	زون ارتفاعی ۵
۸۱/۹/۱۴	11/032	164/650	238/488	128/557	32/574
۸۱/۱۱/۱۰	82/143	266/567	267/929	128/557	32/574
۸۱/۱۱/۲۱	40/835	243/180	263/215	118/910	31/229
۸۱/۱۲/۲۸	3/036	250/180	349/916	129/910	45/229
۸۲/۲/۳	0	16/465	171/813	135/539	32/939



شکل ۵- منحنی فروکش در ایستگاه سیرا

#### ۷-۳- کالیبراسیون<sup>۵</sup>

در فرآیند کالیبراسیون مقادیر پارامترهای مدل به اندازه‌ای تغییر می‌یابند که هیدروگراف مشاهداتی و محاسباتی بهترین برازش را ایجاد کنند.

#### ۵-۳- فاکتور ذوب

فاکتور درجه-روز و یا شاخص ذوب برای هر زون ارتفاعی از طریق درون‌یابی ایستگاهها و برون‌یابی آن به دو زون ارتفاعی پایین‌تر  $z_1$  و بالاتر  $z_4$  و  $z_5$  محاسبه شده است. این فاکتور با توجه به مقدار افزایش دما در طی فصل ذوب افزایش تدریجی دارد.

#### ۸-۳- اعتبارسنجی<sup>۶</sup>

به منظور ارزیابی نحوه کارکرد مدل مقادیر تصحیح شده به سال آبی ۸۱-۸۲ انتقال داده شد و فرآیند شبیه سازی جریان تکرار گردید. شکل ۷ مقادیر دبی شبیه سازی شده توسط مدل SRM در مقایسه با مقادیر اندازه‌گیری شده در مرحله اعتبارسنجی را نشان می‌دهد.

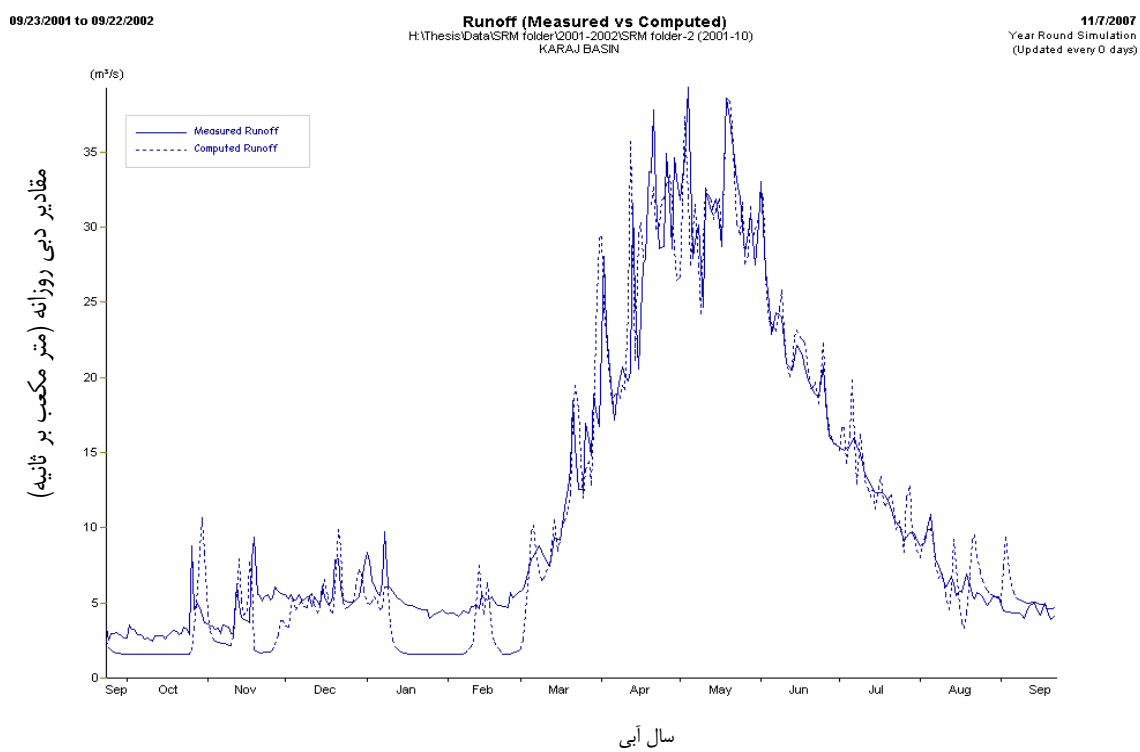
اشکال ۸ و ۹ میزان همبستگی میان جریان محاسبه شده توسط مدل و جریان اندازه‌گیری شده در سالهای آبی ۸۰-۸۱ و ۸۱-۸۲ را نشان می‌دهد.

#### ۶-۳- شبیه سازی<sup>۴</sup>

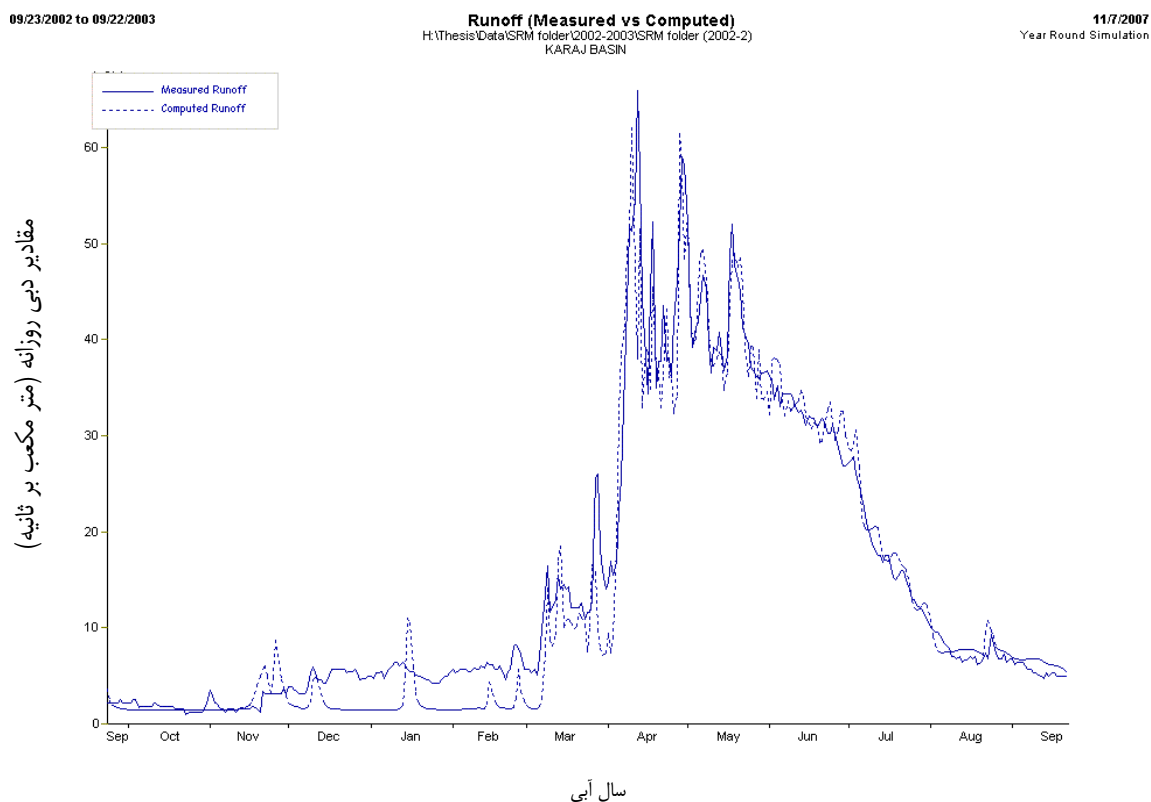
شبیه سازی فرآیند محاسبه جریان بر اساس پارامترهای مدل به گونه‌ای که با جریان مشاهده‌ای مطابقت و رفتارهای هیدرولوژیکی را تقلید نماید نامیده می‌شود. فرآیند شبیه سازی جریان حاصل از ذوب برف در حوضه آبخیز سد کرج با محاسبه فاکتورها و پارامترهای مورد لزوم در سال آبی ۸۰-۸۱ صورت پذیرفت. شکل ۶ مقادیر دبی شبیه سازی شده توسط مدل SRM در مقایسه با مقادیر اندازه‌گیری شده را نشان می‌دهد.

جدول ۴- ارزیابی مقادیر شبیه سازی و اعتبارسنجی مدل در سال‌های آبی ۸۰-۸۱ و ۸۱-۸۲

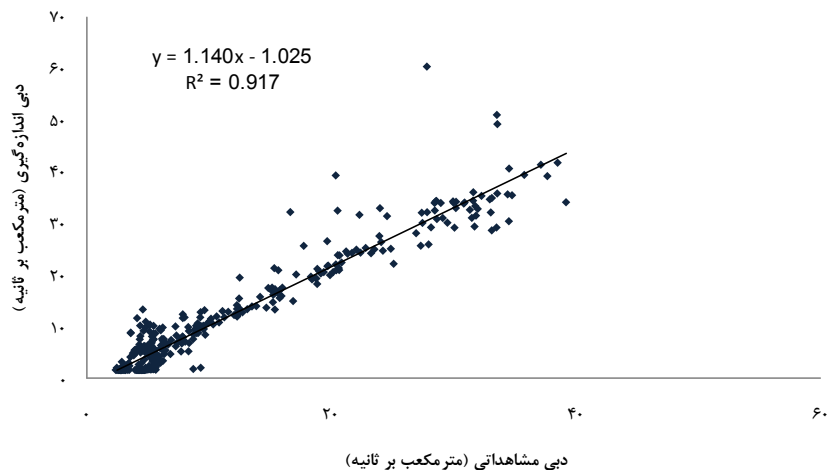
$\Delta V \%$	RMSE	Nash	$q$ محاسباتی ( $m^3$ )	$q$ مشاهداتی ( $m^3$ )	$Q$ محاسباتی ( $m^3/s$ )	$Q$ مشاهداتی ( $m^3/s$ )	سال آبی
۰/۱۲۹۲	۶/۸۹۸	۰/۴۶۷۸	۳۲۶/۲۹	۳۲۶/۷۶	۱۱/۴۹	۱۱/۵	۸۰-۸۱
۶/۷۷۳۶	۳/۶۰۳۶	۰/۹۳۸۵	۱۳/۶۹	۱۴/۶۹	۴۳۱/۸۵	۴۶۳/۲۳	۸۱-۸۲



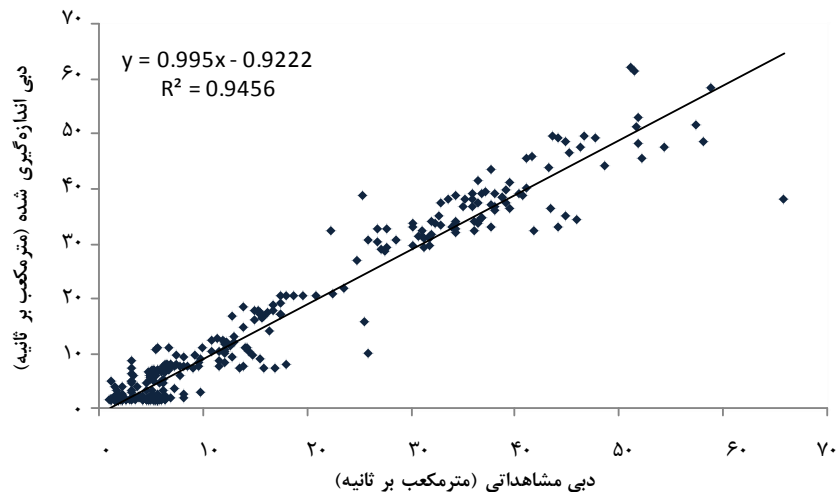
شکل ۶- شبیه‌سازی جریان حوضه آبخیز سد کرج در سال آبی ۸۰-۸۱



شکل ۷- اعتبارسنجی مدل در حوضه آبخیز سد کرج در سال آبی ۸۱



شکل ۸- همبستگی مقادیر جریان محاسباتی و مشاهداتی در سال آبی ۸۰-۸۱



شکل ۹- همبستگی مقادیر جریان محاسباتی و مشاهداتی در سال آبی ۸۱-۸۲

پایین افتادگی هیدروگراف شبیه سازی شده نسبت به هیدروگراف مشاهداتی در ماه ژانویه و فوریه سال آبی ۸۰-۸۱ به دلیل فرض نمودن نوع بارش به صورت برف توسط مدل می باشد که این خود نتیجه پائین بودن دما نسبت به دمای بحرانی فرض شده می باشد. در نتیجه بارش در محاسبات رواناب وارد نشده و توسط مدل به عمق تجمعی برف افزوده شده تا در روزهای گرم بعدی وارد چرخه محاسبه رواناب گردد. در ماههای بعدی و بویژه در فصل ذوب مدل توانایی خود را در شبیه سازی جریان نشان می دهد که میزان جریان شبیه سازی شده و میزان رواناب مشاهداتی در فصل ذوب و بعد از آن تطابق کامل و قابل قبولی دارد. هیدروگراف خروجی در ابتدا بیان گر این مطلب می باشد که عمدۀ بودجه آبی حوضه آبخیز سد کرج از

#### ۴- بحث و نتیجه گیری

مدل رواناب حاصل از ذوب SRM، دارای دو معیار ارزیابی میزان دقیق شبیه سازی رواناب حاصل از ذوب برف می باشد. با توجه به ضریب تبیین ارائه شده توسط مدل می توان نتیجه گرفت که مدل SRM توانایی شبیه سازی جریان رواناب حاصل از ذوب برف در حوضه های آبخیزی که برف عمدۀ آورد سالانه حوضه را به خود اختصاص داده است را دارد. همچنین مدل قادر است جریان شبیه سازی شده و جریان مشاهداتی را بصورت گراف خروجی نمایش دهد که به لحاظ بصری نیز می توان نتیجه گرفت که مدل در فرآیند شبیه سازی جریان موفق عمل کرده است. نمودار همبستگی های ارائه شده نیز مطالعه ذکر شده را تائید می نماید.

حاصل از ذوب برف همچنین با نتایج حاصل از تحقیقات (Emre et al., 2005) با ضریب تبیین  $0.62/0.82$  همخوانی دارد. نتایج حاصل از مدل سازی رواناب حاصل از ذوب برف در داخل کشور نیز کارایی مدل SRM را نشان می‌دهد. نتایج حاصل از ذوب برف با نتایج تحقیقات نجف زاده (۱۳۸۳) که رواناب حاصل از ذوب برف را در حوضه آبخیز پلاسجان با ضریب تبیین  $0.95/0.25$  و تفاضل حجمی  $0\%$  بدست آورده است مطابقت می‌کند. همچنین نتایج این مطالعه با نتایج حاصل از تحقیقات (Najafi et al., 2003) در حوضه آبخیز مهاباد با ضریب تبیین  $0.85/0.79$  و تفاضل حجمی  $-3\%$  نیز قرابت دارد.

با توجه به مطالب ذکر شده مدل SRM توانایی مدل سازی رواناب حوضه‌های برگیگر را داراست. نظر به اینکه عمدۀ حوضه‌های آبخیز شمال و غرب کشور برگیگر می‌باشد، در نظر گرفتن میزان رواناب حاصل از ذوب برف در مدیریت منابع آب از اهمیت خاص برخوردار است. لذا مدل سازی جریان با مدل‌هایی که قادر به مدل کردن هر دو نوع بارش بصورت باران و برف می‌باشند در اولویت قرار خواهد داشت. با توجه به نتایج تحقیق حاضر و نتایج سایر محققین در زمینه مدل SRM می‌توان اظهار داشت که در صورت موجود بودن مدل‌های هیدرولوژیک از حوضه‌های آبخیز برگیگر کشور این مدل قادر به مدل سازی جریان و آورد رودخانه‌ها به صورت قابل قبول می‌باشد.

## پی نوشت‌ها

- 1-Snowmelt Runoff Model
- 2-Moderate Image Spectroradiometer
- 3-Normalized Difference Snow Index
- 4-Simulation
- 5-Calibration
- 6- Validation

## ۵- مراجع

پرهمت، ج. (۱۳۸۱)، مدل توزیعی رواناب حاصل از ذوب برف با استفاده از داده‌های سنجش از دور، رساله دکتری، واحد علوم و تحقیقات دانشگاه آزاد تهران

نجف زاده، ر.، ابریشم چی، ا. و تجریشی، م. (۱۳۸۳)، شبیه‌سازی جریان رواناب رودخانه با مدل SRM و با استفاده از داده‌های سنجش از دور، نشریه آب و فاضلاب، شماره ۵۲

بارش برف تامین می‌شود. برف انباشته شده در فصل بارش برف می‌تواند هنگام ذوب در فصل بهار سیلاب‌های سهمگینی را ایجاد نماید؛ بنابراین خالی نگهداشت بخشی از حجم مخزن سد می‌تواند روند سیل را کاهش داده و از بروز خسارت و بازگشایی ناگهانی دریچه‌های سد هنگام بروز سیلاب جلوگیری نماید. جریان در اواخر ماه ژولای (تیر) به دلیل پایه برگشت داده می‌شود کاهش‌ها و افزایش‌های پیک‌های جزئی هیدروگراف می‌تواند از این علت ناشی گردد که بارشهایی که در اوایل سال آبی جزء برف محاسبه شده بود به تدریج توسط مدل وارد چرخه رواناب می‌گردد.

نمودار هیدروگراف خروجی در سال آبی ۸۱-۸۲ نیز این مطلب را که عمدۀ بودجه جریان سالانه رواناب حاصل از ذوب برف می‌باشد را قویاً تایید می‌نماید. افتادگی هیدروگراف شبیه‌سازی شده در ماههای دسامبر (آذر) تا اواسط ماه مارس (اسفند) نیز طبق مطالعه ذکر شده می‌تواند به این دلیل باشد که مدل، بارش واردۀ را به صورت برف محاسبه نموده است. با بالا رفتن دما در ماههای فصل ذوب، برف انباشته شده در حوضه وارد جریان رواناب می‌گردد که حاصل آن بالا بودن حجم رواناب در این فصل از سال می‌باشد. با توجه به دو هیدروگراف روزانه سال‌های آبی ۸۰-۸۱ و ۸۱-۸۲ می‌توان نتیجه گرفت که عمدۀ جریان حوضه آبخیز سد کرج ناشی از ذوب برف می‌باشد. همچنین اثر تاخیری برف بر روی جریان حوضه نیز در هیدروگراف‌های خروجی مشاهده می‌شود که لزوم مدیریت منابع آب این حوضه را در کاهش خسارت‌های ناشی از سیل ذوب برف در اوایل فصل ذوب و در طی فصل بهار با بارش باران در روزهای گرم این فصل که دمای قطرات باران بالا می‌باشد را گوشزد می‌نماید. مدل شبیه‌سازی رواناب حاصل از ذوب برف SRM میزان جریان را در سال آبی ۸۰-۸۱ و ۸۱-۸۲ به ترتیب  $0/4678$  و  $0/9385$  برأورد نموده است که نمودار همبستگی میان جریان شبیه‌سازی شده و اندازه‌گیری شده نیز از همبستگی بالای میزان رواناب شبیه‌سازی در مقیاس روزانه حکایت می‌کند. ارزیابی مدل با دو شاخص ضریب تبیین و تفاضل حجم در دو سال آبی ۸۰-۸۱ و ۸۱-۸۲ به ترتیب  $0/935$  و  $0/4678$  همچنین تفاضل حجم  $0/1292$  و  $0/7736$ % برأورد شده است که نتایج به دست آمده از مدل با نتایج تحقیقات (Swamy and Brivio, 1996) در حوضه کوردول ایتالیا با تفاضل حجمی  $0/46$ % و ضریب تبیین  $0/89$ ٪ تطابق دارد. نتایج حاصل از تحقیقات (Schaper et al., 2000) که رواناب حاصل از ذوب برف را در حوضه ماسا-بلاتن با مدل SRM با ضریب تبیین  $0/31$ % و تفاضل حجم  $0/64$ % بدست آمده است نیز نتایج حاصل از این تحقیق را تایید می‌کند. نتایج حاصل از مدل رواناب

- Mukkoth V.N., (2004), Snowmelt runoff modeling using MODIS in Elaho river basin British Columbia, *ISEIS Publication*, Vol. 2, pp. 526-530
- Malcher, P. and M. Heidinger, (2001), Processing and data assimilation scheme for satellite snow cover products in the hydrological model, 28.04. 2004, version 1, *Environow*, EVG1-CT-2001-00052
- Martinec, J. and A. Rango, (1996), Parameter value for snowmelt runoff modeling, *J. Hydrology*, Vol. 84, No. 3-4, pp. 197-219
- Maurer, E. P., J. D. Rhoads, R. O. Dubayah, D. P. Lettenmaier, (2003), Evaluation of the snow covered area data product from MODIS, *Hydrological Processes journal*, Vol. 17, No. 1, pp.59-71
- Najafi A., B. Saghafian, A.M.J. Meijerink, (2003), Investigation of the snowmelt runoff in the Orumiyeh region using modeling with GIS and RS techniques, ITC Enschede, Netherlands, pp.53
- Nolin, A., & S. Liang, (2000), Progress in bidirectional reflectance modeling and applications for surface particulate media: Snow and soils, *Remote Sensing Reviews*, Vol. 18, No. 2 & 4, pp. 307-342
- Rango, A. Martinec, J., (2003), The Snow Melt Runoff Model (SRM) User Manual Version 1.00.10, pp. 120
- Rango, A., J. Martinec, (1981), Accuracy of Snowmelt Runoff Simulation, *Nordic Hydrology*, Vol. 12, No. 4-5, pp. 256-274
- Schaper, J., J. Martinec and K. Seidel, (1999), Distributed Mapping of Snow and Glaciers for Improved Runoff Modeling, *Hydrological Processes*, Vol. 13, pp. 2023-2031
- Swamy A. N. and P.A. Brivio, (1996), Hydrological modeling of snowmelt I the Italian alps using visible and infrared remote sensing, *J. Remote sensing*, Vol. 17, No. 16, pp. 3169-3188
- Amlien, J., R. Solberg, (2003), A comparison of temperature retrieval algorithms for snow covered surfaces, *Proceedings of IGARSS (IEEE)*, pp.842-844
- Barry R. R. J. Charley, (1982), *Atmosphere weather and climate*, Mateo. and Co New York
- Emre tekeli A., Zuhal Akyu rek, A. Arda Sorman, Aynur Sensoy and A. Unal Sorman, (2005), Using MODIS Snow Cover Maps in Modeling Snowmelt Runoff Process in the Eastern Part of Turkey, *Remote Sensing of Environment*, Vol. 97, No. 2, 216-230
- Fergousen, R.I., (1999), Snowmelt Runoff Models, *Progress in Physical Geography*, Vol. 23, No. 2, pp. 205-227
- Ghanbarpour, M. R., B. Saghafian, M. Mohseni Saravi, K. C. Abbaspour, (2007), Evaluation of spatial and temporal variability of snow cover in a large mountainous basin in Iran, *Nordic Hydrology*, Vol. 38, No. 1, pp. 45-58
- Gupta R.P., A. Ghosh, U.K. Haritashya, (2007), Empirical relationship between near-IR reflectance of melting seasonal snow and environmental temperature in a Himalayan basin, *Remote Sensing of Environment journal*, Vol. 107, No. 3, pp. 402-413
- Hall, D. K., G. A. Riggs, V. V. Salomonson, (1995), Development of the methods for mapping Global Snow Cover Using Moderate Resolution Imaging Spectroradiometer data. *Remote Sensing of Environment*, Vol. 54, No. 2, pp. 127-140
- Landesa, E., A. Rango and D.K. Hall, (2000), Improved snow cover remote sensing for snow melt runoff forecasting, *international association of hydrological science (IAHS)*, Vol.27, No. 267, pp. 61-65